

ной костепени на абстрактные бесконечномерные многообразия с краем, для которых также верна формула Стокса.

В заключение автор благодарит О. Г. Смолянова за внимание к работе.

СПИСОК ЛИТЕРАТУРЫ

1. Смолянов О. Г. Потоки де Рама и формула Стокса в гильбертовом пространстве//Докл. АН СССР. 1986, № 3. 554—558.
2. Шефер Х. Топологические векторные пространства. М., 1971.
3. Debiere C. Integration of vector-valued functions with respect to vector-valued measures//Rev. roum. math. puras et appl. 1981. 26, 7. 943—957.
4. Картан А. Дифференциальное исчисление. Дифференциальные формы. М., 1971.
5. Норин Н. В. Расширенный стохастический интеграл для негауссовых мер в локально выпуклом пространстве//Успехи матем. наук. 1986. 41, вып. 3. 199—200.
6. Смолянов О. Г. Анализ на топологических линейных пространствах и его приложения. М., 1979.
7. Энгелькинг Р. Общая топология. М., 1986.
8. Угланов А. В. Поверхностные интегралы в банаевом пространстве//Матем. сб. 1979. 110, № 2. 189—217.
9. Смолянов О. Г., Фомин С. В. Меры на топологических линейных пространствах//Успехи матем. наук. 1976. 31, № 4. 3—56.

Поступила в редакцию
08.01.88

ВЕСТН. МОСК. УН-ТА. СЕР. 1, МАТЕМАТИКА. МЕХАНИКА. 1989. № 5

УДК 512.734

В. П. Костов, Б. З. Шапиро

ФЛАГИ В R^3 , ТРАНСВЕРСАЛЬНЫЕ К ДАННЫМ, ОБРАЗУЮТ М-МОНООБРАЗИЕ

Определение. Два полных флага в R^n (C^n) назовем трансверсальными, если коразмерность пересечения любых двух их подпространств равна минимуму из n и суммы их коразмерностей.

Теорема 1. Для типичного набора флагов* в R^3 множество F_R всех флагов, трансверсальных ко всем флагам набора, является вещественно алгебраическим M -многообразием, т. е. удовлетворяет соотношению $\Sigma b_i(F_R) = \Sigma b_i(F_C)$, где b_i — числа Бетти с коэффициентами в Z_2 , а F_C — комплексификация F_R .

Условия типичности в теоремах 1, 2 и 3 см. в п. 2.

Напомним, что для любого вещественно алгебраического многообразия M_R и его комплексификации M_C выполняется неравенство Смита: $\Sigma b_i(M_R) \leq \Sigma b_i(M_C)$.

Теорема 1 является следствием двух теорем 2, 3.

Теорема 2 (В. И. Арнольд, В. П. Костов). Для типичного набора из k флагов в R^3 многообразие F_R всех флагов, трансверсальных ко всем флагам набора, гомеоморфно несвязному объединению $k^3 - k^2 + k$ трехмерных клеток.

Теорема 3 (Б. З. Шапиро). Для типичного набора из k флагов в C^3 многообразие F_C всех флагов, трансверсальных ко всем флагам набора, не имеет кручения в целочисленных гомологиях, и числа Бетти

1. Рассмотрим эквивалентную интерпретацию полных флагов в R^3 как полных флагов на RP^2 .

Определение. Каждый флаг на RP^2 состоит из прямой и точки. Бифуркационными линиями назовем прямые, соединяющие пары точек флагов.

2. Условия типичности набора полных флагов на RP^2 :

- а) флаги попарно трансверсальны;
- б) никакие три прямые флагов не пересекаются в одной точке;
- в) никакие три точки флагов не лежат на одной прямой;
- г) никакая бифуркационная линия не проходит через точку пересечения прямых флагов.

3. Доказательство теоремы 2. Зафиксируем типичный набор из k проективных флагов $f = (f_1, \dots, f_k)$. Прямые флагов набора разбивают RP^2 на $N_1 = k(k-1)/2 + 1$ открытый многоугольник (см. условие б). Обозначим через M один из них. Рассмотрим множество $\Omega(M)$ флагов, трансверсальных к f_1, \dots, f_k , точка которых лежит в M . Множество $\Omega(M)$ есть расслоение со слоем интервал, базой которого является множество μ прямых, пересекающих M и не проходящих через точки флагов f_1, \dots, f_k .

4. Обозначим через l_1, \dots, l_k прямые на $(RP^2)^*$, двойственные к точкам флагов набора f . Прямые l_1, \dots, l_k находятся в общем положении (см. условие в).

Определение. Двойственным многоугольнику M^* к многоугольнику M на RP^2 назовем многоугольник на $(RP^2)^*$, точки которого двойственны к прямым, не пересекающим M .

Если M — выпуклый и аффинный, то M^* — также выпуклый и аффинный. Если M — открытый, то M^* — замкнутый, и наоборот.

Имеем $\mu = (RP^2)^* \setminus (M^* \cup l_1 \cup \dots \cup l_k)$. Все прямые l_1, \dots, l_k пересекают замыкание многоугольника M^* .

5. Лемма. Множество μ состоит из $k+q(M)$ открытых двумерных клеток, где $q(M)$ — число бифуркационных линий, пересекающих M .

Следствие. Множество $\Omega(M)$ состоит из $k+q(M)$ открытых трехмерных клеток.

Доказательство леммы непосредственно вытекает из следующего, более общего предложения.

6. Предложение. Пусть a — нестрого выпуклая область на RP^2 . Число частей, на которое $a = RP^2 \setminus \bar{a}$ разбивается k прямыми в общем положении, каждая из которых пересекает \bar{a} , равно $k+r$, где r — число лежащих в a точек попарных пересечений прямых. Все части, на которые распадается a , стягиваются.

Доказательство. Для $k=1$ лемма очевидна. Пусть она доказана для $k-1$ и \bar{a} пересекается с k -й прямой по отрезку (или точке). Точки пересечения l_k с остальными прямыми, лежащие в a , разбивают $l_k \setminus \bar{a}$ на $v+1$ интервал, где v — число этих точек. Каждый из этих интервалов является простым путем, соединяющим две точки границы стягиваемой (по предположению индукции) области. Следовательно, добавление прямой l_k увеличивает число частей, на которое распадается a , ровно на $v+1$. Стягиваемость этих компонент очевидна.

прямыми флагами. В силу условий а) и г) $N_2 = k^2(k-1)/2$, поэтому $N_3 = k^3 - k^2 + k$. Теорема 2 доказана.

8. Доказательство теоремы 3. Определение. Шлейфом $\tilde{W}(\hat{f})$ полного флага f назовем множество всех не трансверсальных ему флагов.

Лемма. Ограничение шлейфа полного флага f в \mathbb{R}^n (\mathbb{C}^n) на дополнение в F_n (F_n — пространство полных флагов) до шлейфа трансверсального к f флага g диффеоморфно гиперповерхности, задаваемой уравнением

$$\Delta = \Delta_1 \cdot \dots \cdot \Delta_{n-1} = 0,$$

где Δ_i — определитель минора, образованного i первыми строками и i последними столбцами верхнетреугольной $(n \times n)$ -матрицы с единичной диагональю.

Доказательство. Пусть e_1, \dots, e_n — фиксированный базис в \mathbb{R}^n (\mathbb{C}^n). Построим по нему два трансверсальных флага f и g : i -мерные пространства флага f натянуты на e_1, \dots, e_i , а i -мерные пространства флага g натянуты на e_n, \dots, e_{n-i+1} . Так как группа $GL(n)$ транзитивно действует на парах трансверсальных флагов, то достаточно исследовать только пару f и g . Рассмотрим расслоение $\pi_n: GL(n) \rightarrow F_n$, где π_n сопоставляет каждой матрице полный флаг, i -мерное пространство которого натянуто на i первых строк матрицы. $\pi_n^{-1}(F_n \setminus W(g))$ состоит из матриц, имеющих отличными от нуля все главные миноры. Тогда можно построить сечение в $\pi_n^{-1}(F_n \setminus W(g))$, выбрав в слое над каждым флагом верхнетреугольную матрицу с единичной диагональю. Тем самым группа верхнетреугольных матриц с единичной диагональю отождествляется с клеткой $F_n \setminus W(g)$. При этом отождествлении условием нетрансверсальности k -мерного подпространства флага, соответствующего некоторой верхнетреугольной матрице, с $(n-k)$ -мерным подпространством флага f является обращение в нуль определителя $((n-k) \times (n-k))$ -минора, составленного из первых строк и последних столбцов матрицы. Лемма доказана.

9. Замечание. В трехмерном случае уравнения компонент шлейфа в \mathbb{C}^3 имеют вид

$$z=0, \quad z=xy. \quad (1)$$

10. Определение. Пусть $\hat{f} = (f_1, \dots, f_k)$ — произвольный набор полных флагов в \mathbb{C}^n . Обозначим через $\tilde{W}(\hat{f})$ одноточечную компактификацию множества $W(\hat{f}) = \bigcup_{i=1}^{k-1} W(f_i) \cap (F_n \setminus W(f_k))$, а через $F(\hat{f}) = F_n \setminus \bigcup_{i=1}^k W(f_i)$.

11. Лемма. $\tilde{H}_{i-1}(F(\hat{f})) = \tilde{H}^{n(n-1)-i}(\tilde{W}(\hat{f}))$.

Доказательство. Множество $F_n \setminus W(f_k)$ является клеткой вещественной размерности $n(n-1)$. Из двойственности Александера (см. [1]) имеем

где \tilde{H}_i и H_C^{i-1} — приведенные гомологии и қогомологии с компактными носителями соответственно. Тогда

$$H_C^{n(n-1)-i}(\tilde{W}(\hat{f})) = H^{n(n-1)-i}(\tilde{W}(\hat{f}), \infty) = \tilde{H}^{n(n-1)-i}(\tilde{W}(\hat{f})),$$

где ∞ обозначает компактифицирующую точку.

12. Для вычисления $\tilde{H}^*(\tilde{W}(\hat{f}))$ воспользуемся спектральной последовательностью Майера—Виеториса (см. [2]). Условия для ее применимости выполнены в силу замкнутости $W(f_i)$ в $W(\hat{f})$.

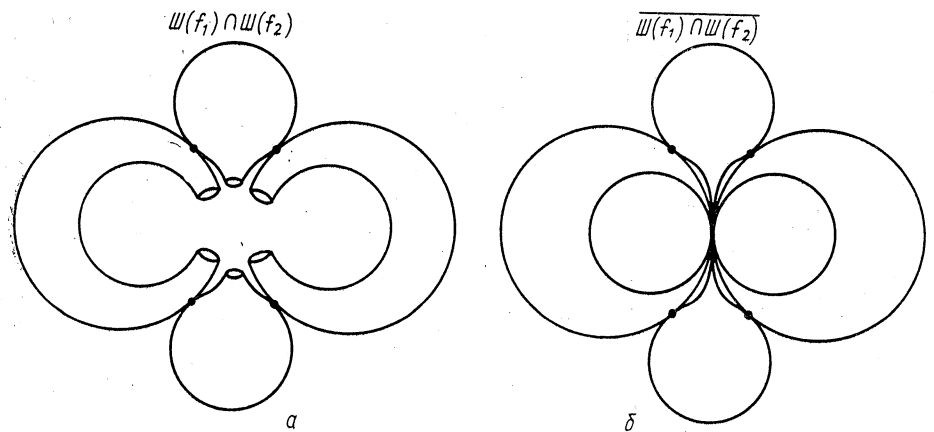
13. Лемма. Каждая из двух компонент $W(\hat{f})$ в \mathbb{C}^3 биголоморфно эквивалентна \mathbb{C}^2 . Компоненты пересекаются по паре комплексных прямых, пересекающихся в точке.

Доказательство. См. формулу (1).

14. Следствие. Группы когомологий компактифицированного шлейфа не имеют кручений, и числа Бетти равны 1, 0, 1, 2, 2.

Когомологии легко вычисляются из точной последовательности Майера—Виеториса.

15. Лемма. Компактифицированный точкой комплекс пересечения $W(f_1) \cap W(f_2)$ гомеоморден комплексу, изображеному на рисунке



ке б, и гомотопически эквивалентен букету из четырех сфер S^2 и шести окружностей.

Доказательство. Опишем геометрически пересечение $W(f_1) \cap W(f_2)$ до компактификации. Оно состоит из четырех компонент:

A — прямая флага соединяет точки флагов f_1 и f_2 ;

B — прямая флага проходит через точку флага f_1 , а точка флага лежит на прямой флага f_2 ;

C — точка флага совпадает с точкой пересечения прямых флагов f_1 и f_2 ;

D — прямая флага проходит через точку флага f_2 , а точка лежит на прямой флага f_1 .

Компоненты A и C диффеоморфны S^2 без точки, а B и D диффеоморфны S^2 без двух точек. Следующие пары компонент пересекаются по различным точкам: (A, B) , (A, D) , (B, C) , (C, D) . На рисунке

16. Следствие. Группы когомологий комплекса $\overline{\mathbb{W}(f_1) \cap \mathbb{W}(f_2)}$ не имеют кручений, и числа Бетти равны 1, 6, 4.

17. Лемма. К трем флагам f_1, f_2, f_3 на \mathbb{CP}^2 в общем положении нетрансверсальны шесть различных флагов. Прямые трех из них проходят через точки флагов f_i и f_j , а точки лежат на прямой флага f_k . Прямые трех других соединяют точку пересечения прямых флагов f_i и f_j с точкой флага f_k , где (i, j, k) образуют произвольную перестановку чисел (1, 2, 3).

18. Член E_1 спектральной последовательности Майера—Виеториша для приведенных когомологий комплекса $\overline{\mathbb{W}(f)}$ изображен в таб-

H^4	$2(k-1)\mathbf{Z}$		
H^3	$2(k-1)\mathbf{Z}$		
H^2	$(k-1)\mathbf{Z}$	$4C_{k-1}^2\mathbf{Z}$	
H^1		$6C_{k-1}^2\mathbf{Z}$	
H^0			$6C_{k-1}^3\mathbf{Z}$

лице (запись $p\mathbf{Z}$ обозначает свободную абелеву группу с p образующими).

19. В этой спектральной последовательности $d_2=d_3=\dots=0$, а d_1 может отличаться от нуля для элементов $E^{1,20} \rightarrow E^{1,21}$. Дифференциал d_1 двойствен гомоморфизму в гомологиях, индуцированному вложением q -кратных пересечений в $(q-1)$ -кратные. Покажем, что вложение 2-мерных гомологий $\overline{\mathbb{W}(f_i) \cap \mathbb{W}(f_j)}$ в 2-мерные гомологии $\overline{\mathbb{W}(f_i)}$ индуцирует нулевой гомоморфизм. Действительно, любая из четырех образующих 2-мерных гомологий компонент A, B, C и D вкладывается в одну из двух компонент шлейфа $\overline{\mathbb{W}(f_i)}$, диффеоморфных S^4 . Следовательно, любой 2-цикл после вложения затягивается. Тем самым, $E_1 = E_\infty$ и $E_1 = \overline{H^*(\mathbb{W}(f))}$, так как E_1 не имеет кручения. Число образующих $\overline{H^*(F(f))}$ равно $6C_{k-1}^3 + 10C_{k-1}^2 + 5C_{k-1}^1 = k^3 - k^2 + k - 1$, что и доказывает теорему 3.

СПИСОК ЛИТЕРАТУРЫ

- Дольд А. Лекции по алгебраической топологии. М., 1976.
- Браун К. С. Когомологии групп. М., 1987.